

*Statica di aste autoportanti*  
prof. Egidio Rizzi

Università di Bergamo, Facoltà di Ingegneria (Dalmine)

25 ottobre 2005

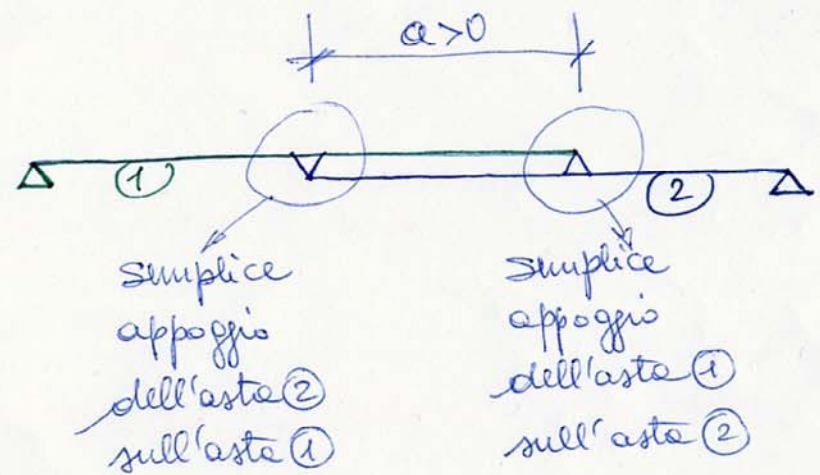
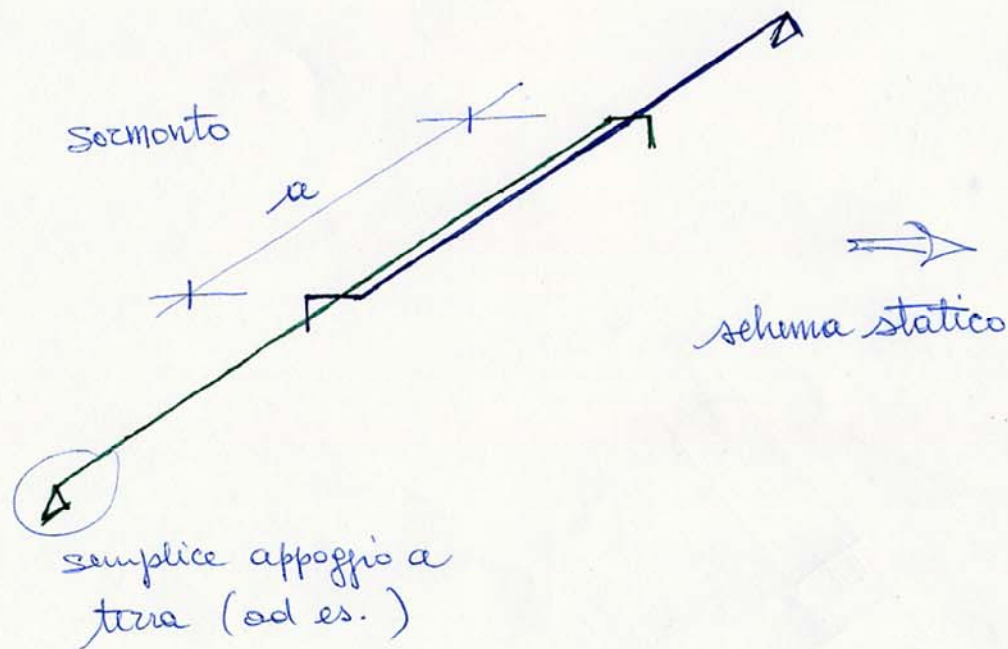
Lezione tenuta all'interno del corso di  
*“Tecnologie innovative per l'edilizia”*  
prof. Attilio Pizzigoni

Tematica: nodo "leonardesco" o "serliano" di aste che si sostengono vicendevolmente

Obiettivo: individuare lo schema statico.

NODO CON DUE ASTE

Consideriamo inizialmente due aste che si appoggiano l'una sull'altra, oltre che, singolarmente, a terra. Le aste siano soggette al solo peso proprio.

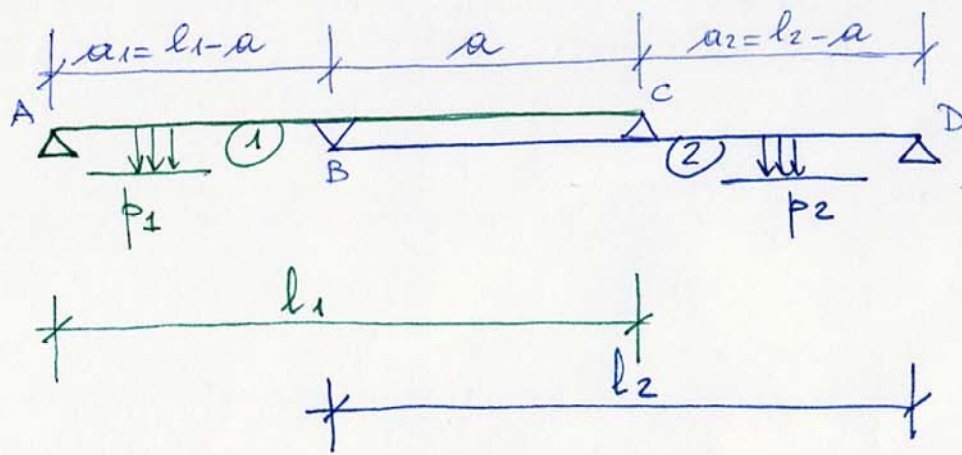


[vincoli mono lateri]

N.B. Sia  $a > 0$  al fine di evitare la possibilità strutturale per carichi verticali



# Studio dello schema statico



Strutturalmente:

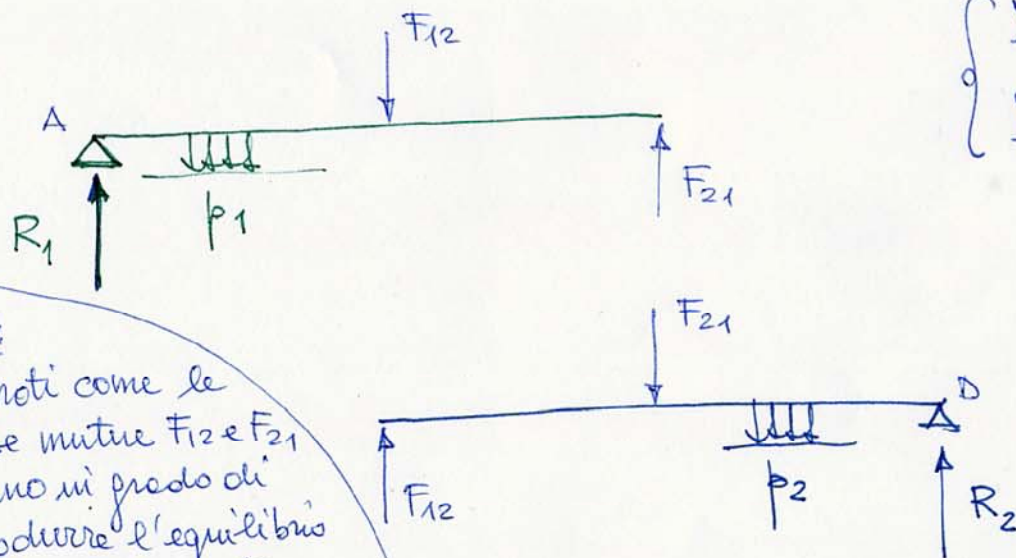
$$a_1 = l_1 - a > 0 \rightarrow a < \min\{l_1, l_2\}$$

$$a_2 = l_2 - a > 0$$

$p_1 > 0, p_2 > 0$  uniform, distribuiti

4 gdl < 6 gdl (2 gdl alle trasl. orizzontale residui)

Esplorazione delle due aste:



N.B.:

Si noti come le forze mutue  $F_{12}$  e  $F_{21}$  siano in grado di produrre l'equilibrio fornendo momento uguale ed opposto a quello prodotto dal carico distribuito

Eq. di equilibrio alle rotazioni:

$$\begin{cases} \sum M_A^{\textcircled{1}} = 0 \Rightarrow F_{21} l_1 - F_{12} a_1 - p_1 \frac{l_1^2}{2} = 0 \\ \sum M_D^{\textcircled{2}} = 0 \Rightarrow F_{12} l_2 - F_{21} a_2 - p_2 \frac{l_2^2}{2} = 0 \end{cases}$$

$$\underbrace{\begin{bmatrix} l_1 & -a_1 \\ -a_2 & l_2 \end{bmatrix}}_A \begin{Bmatrix} F_{21} \\ F_{12} \end{Bmatrix} = \frac{1}{2} \begin{Bmatrix} p_1 l_1^2 \\ p_2 l_2^2 \end{Bmatrix}$$

N.B.:  $\det A = l_1 l_2 - a_1 a_2$

$$= l_1 l_2 - (l_1 - a)(l_2 - a) =$$

$$= \cancel{l_1 l_2} - \cancel{l_1 l_2} + a l_1 + a l_2 - a^2$$

$$= \underbrace{a}_{>0} \underbrace{(l_1 + l_2 - a)}_{>0} > 0$$

Soluzione del sistema

$$\text{Regola di Cramer: } F_{21} = \frac{\begin{vmatrix} \frac{1}{2} p_1 l_1^2 & -a_1 \\ \frac{1}{2} p_2 l_2^2 & l_2 \end{vmatrix}}{\det A} = \frac{1}{2} \frac{p_1 l_1^2 l_2 + p_2 l_2^2 a_1}{a(l_1 + l_2 - a)}$$

$$= \frac{1}{2} \frac{l_2}{a} \frac{p_1 l_1^2 + p_2 a_1 l_2}{l_1 + l_2 - a}$$

$$= \frac{1}{2} \frac{l_2}{a} \frac{p_1 l_1^2 + p_2 l_1 l_2 + p_2 a l_2}{l_1 + l_2 - a}$$

$$\boxed{F_{21} = \frac{1}{2} \frac{l_2}{a} \frac{(p_1 l_1 + p_2 l_2) l_1 - p_2 l_2 a}{l_1 + l_2 - a}}$$

Quindi

$$F_{21} = \frac{1}{2} \frac{l_2}{a} \frac{(P_1 + P_2) l_1 - P_2 a}{l_1 + l_2 - a}$$

$$\Rightarrow F_{21} \geq 0 \text{ per } (P_1 + P_2) l_1 \geq P_2 a$$

$$a \leq \frac{P_1 + P_2}{P_2} l_1 = \left( \frac{P_1}{P_2} + 1 \right) l_1 = l_1 + \frac{P_1}{P_2} l_1$$

> 0 se  $P_1$  e  $P_2$  hanno lo stesso segno  
verificate in quanto  $a < l_1$

Quindi  $F_{12} > 0$  sempre per carichi 'equivalenti'.

Analogamente, ruotando gli indici:

$$\boxed{F_{12} = \frac{1}{2} \frac{l_1}{a} \frac{(p_1 l_1 + p_2 l_2) l_2 - p_1 l_1 a}{l_1 + l_2 - a}}$$

Controllo per soluzione diretta del sistema:

dalla 1<sup>a</sup> eq.:  $F_{21} = F_{12} \frac{a_1}{l_1} + \frac{p_1 l_1}{2}$

Sost. nelle 2<sup>a</sup> eq.:  $F_{12} l_2 - F_{12} \frac{a_1 a_2}{l_1} - \frac{p_1 l_1}{2} a_2 - \frac{p_2 l_2^2}{2} = 0$

$$F_{12} \left( \frac{l_1 l_2 - a_1 a_2}{l_1} \right) = \frac{1}{2} (p_2 l_2^2 + p_1 l_1 a_2) \Rightarrow \boxed{F_{12} = \frac{1}{2} l_1 \frac{p_2 l_2^2 + p_1 l_1 a_2}{l_1 l_2 - a_1 a_2}}$$

è det A

Sostituendo:

$$\begin{aligned} F_{21} &= \frac{1}{2} l_1 \frac{p_2 l_2^2 + p_1 l_1 a_2}{l_1 l_2 - a_1 a_2} \frac{a_1}{l_1} + \frac{p_1 l_1}{2} \\ &= \frac{1}{2} \frac{p_2 l_2^2 a_1 + p_1 l_1 a_1 a_2 + p_1 l_1 (l_1 l_2 - a_1 a_2)}{l_1 l_2 - a_1 a_2} \\ &= \frac{1}{2} \frac{p_2 l_2^2 a_1 + p_1 l_1 a_1 a_2 + p_1 l_1^2 l_2 - p_1 l_1 a_1 a_2}{l_1 l_2 - a_1 a_2} \end{aligned}$$

$$\boxed{F_{21} = \frac{1}{2} l_2 \frac{p_1 l_1^2 + p_2 l_2 a_1}{l_1 l_2 - a_1 a_2}} \quad \underline{\text{ok}}$$

Sic  $\Delta F = F_{21} - F_{12} \Rightarrow 2 \Delta F (l_1 l_2 - a_1 a_2) = p_1 l_1^2 l_2 + p_2 l_2^2 a_1 - p_2 l_2^2 l_1 - p_1 l_1^2 a_2 =$

$$= p_1 l_1^2 (l_2 - a_2) + p_2 l_2^2 (l_1 - a_1) =$$

$$= a (p_1 l_1^2 - p_2 l_2^2) = 0 \quad (\text{per } a \neq 0) \text{ se } \boxed{p_1 l_1^2 = p_2 l_2^2}$$

Condizione per avere  $F_{21} = F_{12}$



$$\boxed{p_1 l_1^2 = p_2 l_2^2}$$

Le reazioni degli appoggi a terra possono essere determinate dagli equilibri globali:

$$\sum \overset{\textcircled{1}+\textcircled{2}}{M}_D = 0 \Rightarrow R_1 (l_1 + l_2 - a) - p_1 l_1 \left( l_2 - a + \frac{l_1}{2} \right) - p_2 \frac{l_2^2}{2} = 0$$

$$R_1 (l_1 + l_2 - a) = p_1 \frac{l_1^2}{2} + p_2 \frac{l_2^2}{2} + p_1 l_1 (l_2 - a)$$

$$R_1 = \frac{1}{2} \frac{p_1 l_1^2 + p_2 l_2^2 + 2p_1 l_1 (l_2 - a)}{l_1 + l_2 - a}$$

Analogamente:

$$\sum \overset{\textcircled{1}+\textcircled{2}}{M}_A = 0 \Rightarrow R_2 (l_1 + l_2 - a) - p_2 l_2 \left( l_1 - a + \frac{l_2}{2} \right) - p_1 \frac{l_1^2}{2} = 0$$

$$R_2 (l_1 + l_2 - a) = p_1 \frac{l_1^2}{2} + p_2 \frac{l_2^2}{2} + p_2 l_2 (l_1 - a)$$

$$R_2 = \frac{1}{2} \frac{p_1 l_1^2 + p_2 l_2^2 + 2p_2 l_2 (l_1 - a)}{l_1 + l_2 - a}$$

Controllo:  $\sum F_y^{\textcircled{1}+\textcircled{2}} = 0$ ?

$$R_1 + R_2 = \frac{1}{2} \frac{1}{(l_1 + l_2 - a)} \left( \underbrace{2p_1 l_1^2 + 2p_2 l_2^2 + 2p_1 l_1 l_2 - 2p_1 l_1 a + 2p_2 l_1 l_2 - 2p_2 l_2 a}_{\text{}} \right)$$

$$= \frac{1}{\cancel{l_1 + l_2 - a}} \left( p_1 l_1 (\cancel{l_1 + l_2 - a}) + p_2 l_2 (\cancel{l_1 + l_2 - a}) \right) = p_1 l_1 + p_2 l_2 \quad ! \quad \underline{ok}$$

Dall'equilibrio alla traslazione verticale di una singola asta è possibile verificare il valore di  $\Delta F$ :

$$\sum F_y^{\text{①}} = 0 \Rightarrow R_1 + F_{21} - F_{12} - p_1 l_1 = 0$$

$$\Delta F = F_{21} - F_{12} = p_1 l_1 - R_1$$

$$= p_1 l_1 - \frac{1}{2} \frac{p_1 l_1^2 + p_2 l_2^2 + 2 p_1 l_1 (l_2 - a)}{l_1 + l_2 - a}$$

$$= \frac{2 p_1 l_1^2 + 2 p_1 l_1 l_2 - 2 p_1 l_1 a - p_1 l_1^2 - p_2 l_2^2 - 2 p_1 l_1 l_2 + 2 p_1 l_1 a}{2 (l_1 + l_2 - a)}$$

[Viceversa, noto  $\Delta F$  si potrebbe determinare  $R_1$ ]

$$\Delta F = \frac{p_1 l_1^2 - p_2 l_2^2}{2 (l_1 + l_2 - a)}$$

ok

$$\Delta F = 0 \Rightarrow$$

$$p_1 l_1^2 = p_2 l_2^2$$

$$\frac{p_1}{p_2} = \frac{l_2^2}{l_1^2}$$

Nota:

- in presenza di appoggi mutui mono lateri il sistema non può funzionare per  $p_1 < 0$  e  $p_2 < 0$ .
- se si realizzano appoggi bilateri tramite fissaggio (es. imballonatura) il sistema funziona, in maniera analoga a quella qui vista, anche per  $p_1 < 0$  e  $p_2 < 0$ .
- se  $p_1$  e  $p_2$  hanno verso opposto occorre verificare se i vincoli mono lateri sono in grado di imporre l'equilibrio (eventualmente sotto delimitazioni per il sormento  $a$ ).

## Casi notevoli

- $l_1 = l_2 = l$  (aste di eguale lunghezza)

$$F_{21} = \frac{1}{2} \frac{l^2}{a} \frac{p_1 l + p_2 l - p_2 a}{2l - a}$$

$$(\Delta F = 0 \text{ se } p_1 = p_2)$$

$$R_1 = \frac{1}{2} l \frac{p_1 l + p_2 l + 2p_1(l-a)}{2l - a} = \frac{l}{2} \frac{3p_1 l + p_2 l - 2p_1 a}{2l - a}$$

- $p_1 = p_2 = p$  (aste di egual peso)

$$F_{21} = \frac{1}{2} p \frac{l_2}{a} \frac{(l_1 + l_2)l_1 - l_2 a}{l_1 + l_2 - a}$$

$$(\Delta F = 0 \text{ se } l_1 = l_2)$$

$$R_1 = \frac{1}{2} p \frac{l_1^2 + l_2^2 + 2l_1(l_2 - a)}{l_1 + l_2 - a} = \frac{l_1}{2} p \frac{(l_1 + l_2)^2 - 2l_1 a}{l_1 + l_2 - a}$$

- $p_1 = 0$  (un'asta non pesante)

$$F_{21} = \frac{1}{2} \frac{l_2}{a} \frac{p_2 l_1 l_2 - p_2 l_2 a}{l_1 + l_2 - a} = \frac{1}{2} \frac{p_2 l_2^2}{a} \frac{l_1 - a}{l_1 + l_2 - a}$$

$$F_{12} = \frac{1}{2} \frac{l_1}{a} \frac{p_2 l_2^2}{l_1 + l_2 - a} = \frac{1}{2} \frac{p_2 l_2^2}{a} \frac{l_1}{l_1 + l_2 - a}$$

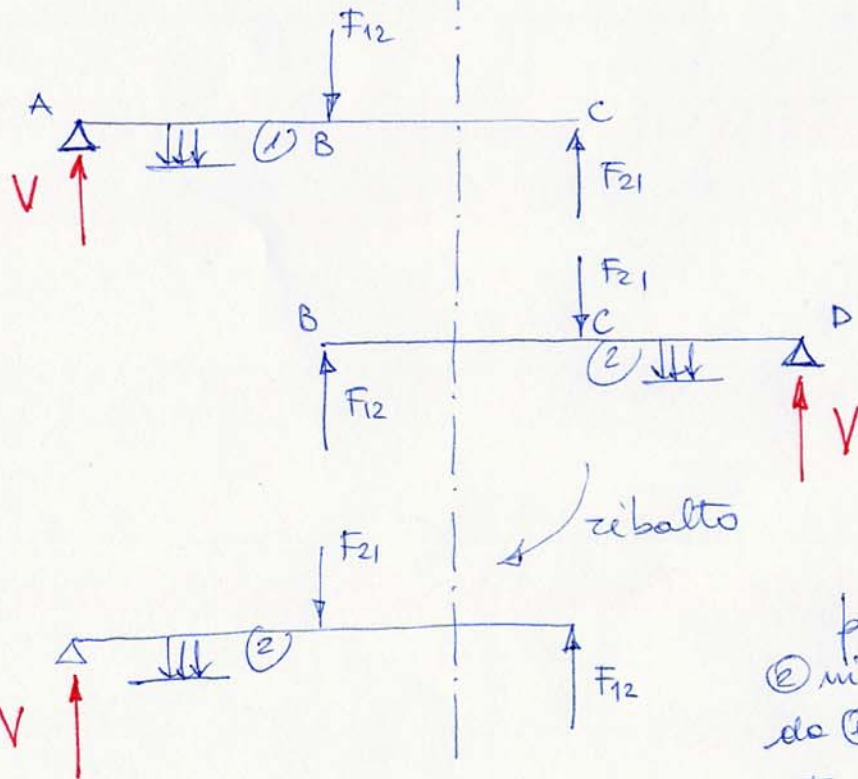
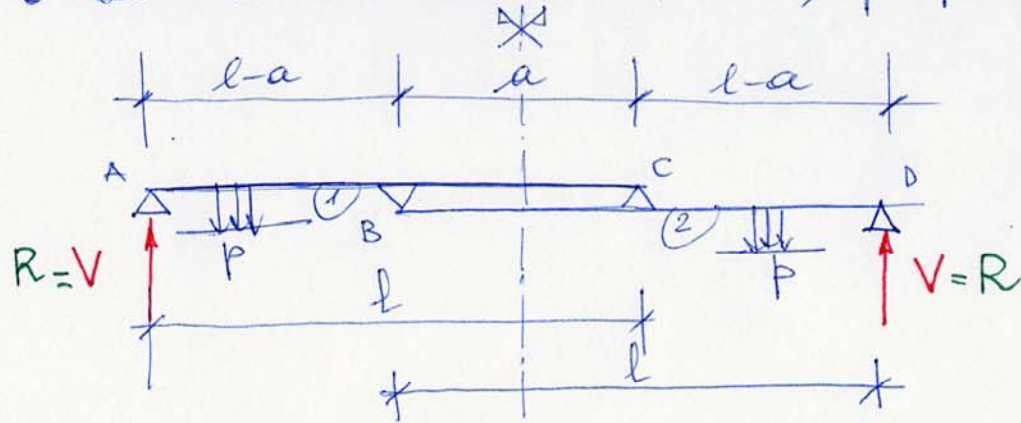
$$R_1 = \frac{1}{2} \frac{p_2 l_2^2}{l_1 + l_2 - a}$$

$$R_2 = \frac{1}{2} p_2 l_2 \frac{l_2 + 2(l_1 - a)}{l_1 + l_2 - a}$$

$$\Delta F = \frac{1}{2} \frac{p_2 l_2^2}{a} \frac{-a}{l_1 + l_2 - a} = -\frac{1}{2} \frac{p_2 l_2^2}{l_1 + l_2 - a}$$

(necessariamente  $\neq 0$  per  $p_2 \neq 0$ )

• Il caso simmetrico:  $l_1=l_2=l$ ,  $p_1=p_2=p$



poiché  
 ② indistinguibile  
 da ①, segue che  
 $F_{12} = F_{21}$   
 ( $\Delta F = 0$ )

Per simmetria le reatt. a terra sono  
 presto determinate:

$$V_1 = V_2 = V$$

$$\sum F_y = 0 \Rightarrow 2V = 2pl \Rightarrow \boxed{V = pl}$$

Nota  $V_3$ , come procedimento alternativo:

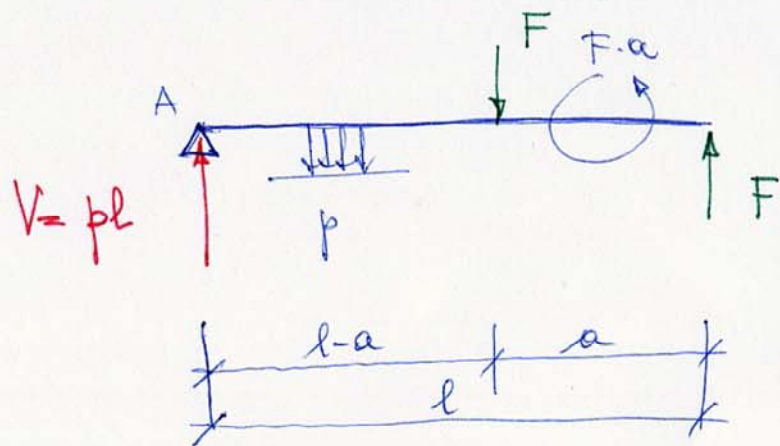
$$\sum M_B = 0 \Rightarrow -V(l-a) + F_{21}a + \frac{pa^2}{2} + p\frac{(l-a)^2}{2} = 0$$

$$\begin{aligned} F_{21}a &= pl(l-a) + \frac{pa^2}{2} - p\frac{(l-a)^2}{2} \\ &= \frac{1}{2}p(l-a)(2l-l+a) + \frac{pa^2}{2} \\ &= \frac{1}{2}p(l^2-a^2) + \frac{pa^2}{2} \\ &= \frac{1}{2}pl^2 \Rightarrow \boxed{F_{21} = \frac{1}{2} \frac{pl^2}{a}} \end{aligned}$$

Poiché l'eq. simile  $\sum M_D = 0$  porta a  
 scrivere la stessa eq. nell'incognita  $F_{12}$   
 si ottiene:

$$\boxed{F_{12} = F_{21} = F = \frac{1}{2} \frac{pl^2}{a}}$$

Si noti come l'equilibrio sia garantito dalle coppie formate dalle due forze  $F$ :



Eq. dei momenti rispetto ad  $a$ :

$$(F \cdot a) = \frac{pl^2}{2} \Rightarrow F = \frac{1}{2} \frac{pl^2}{a}$$

Come già notato, l'equilibrio si può instaurare solo se  $a \neq 0$ , altrimenti le coppie  $F \cdot a$  non può formarsi ( $a=0$  richiederebbe  $F \rightarrow \infty$ )

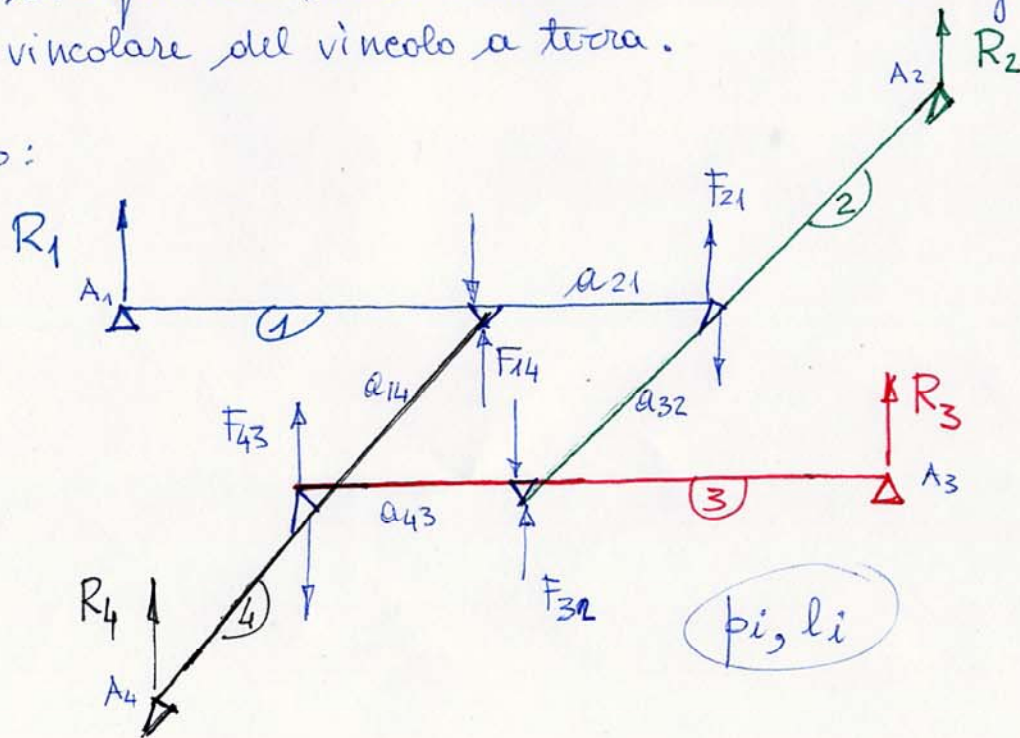
Conferma dalla soluzione generale:

$$\left\{ \begin{array}{l} F_{21} = \frac{1}{2} \frac{1}{a} pl \frac{2l-a}{2l-a} = \frac{1}{2} \frac{pl^2}{a} \quad \text{ok} \\ F_{12} = \frac{1}{2} \frac{1}{a} pl \frac{2l-a}{2l-a} = \frac{1}{2} \frac{pl^2}{a} \quad \text{ok} \\ R_1 = \frac{1}{2} \frac{2pl^2 + 2pl(l-a)}{2l-a} = \frac{1}{2} pl \frac{2l-a}{2l-a} = pl \quad \text{ok} \\ R_2 = \frac{1}{2} \frac{2pl^2 + 2pl(l-a)}{2l-a} = pl \quad \text{ok} \end{array} \right.$$

## NODO CON QUATTRO ASTE

- L'analisi ora vista può essere convenientemente estesa a sistemi formati da tre o più aste.
- Supponendo, come sin qui fatto, di avere ogni asta appoggiata ad un estremo a terra e all'altro estremo su di un'altra asta del sistema, si ottengono, per  $n$  aste,  $n$  appoggi a terra ed  $n$  appoggi interni.
- Realizzato l'esplosio del sistema evidenziando le reazioni mutue negli appoggi interni, si studia l'equilibrio di ognuna delle  $n$  aste nel suo piano, imponendo l'equilibrio alla rotazione rispetto all'appoggio a terra. Si genera così un sistema di  $n$  equazioni in  $n$  incognite che, risolto, fornisce le reazioni vincolari nei vincoli interni.
- L'equaz. di equilibrio alla traslazione verticale di ogni asta fornisce poi la reazione vincolare del vincolo a terra.

Esempio:



Incognite:

$$4 : F_{21}, F_{32}, F_{43}, F_{14}$$

$$4 : R_1, R_2, R_3, R_4$$

Analisi cinematica:

$$g_{dv} = 8$$

$$g_{oll} = 6 \cdot 4 = 24 \quad (\text{in } 3D)$$

no. grad. residui:

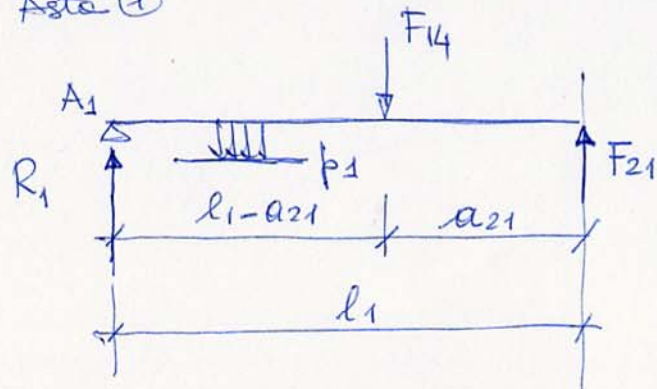
$$- 2 \cdot 4 = 8 \text{ traslazioni nel piano}$$

$$- 4 \text{ rotazioni nel piano}$$

$$- 4 \text{ rotazioni rispetto agli assi delle aste}$$

Equazioni di equilibrio alla rotazione rispetto all'appoggio a terra:

Asta ①



$$\sum M_{A_1}^{\text{①}} = 0 \Rightarrow F_{21} l_1 - F_{14} (l_1 - a_{21}) - p_1 \frac{l_1^2}{2} = 0$$

$$\sum F_y^{\text{①}} = 0 \Rightarrow R_1 = F_{14} - F_{21} + p_1 l_1$$

Analogamente per le altre aste.

Sistema risolvibile nelle  $F_{ij}$  (4 eq. in 4 inc.):

$$\begin{cases} F_{21} l_1 - F_{14} (l_1 - a_{21}) - p_1 \frac{l_1^2}{2} = 0 \\ F_{32} l_2 - F_{21} (l_2 - a_{32}) - p_2 \frac{l_2^2}{2} = 0 \\ F_{43} l_3 - F_{32} (l_3 - a_{43}) - p_3 \frac{l_3^2}{2} = 0 \\ F_{14} l_4 - F_{43} (l_4 - a_{14}) - p_4 \frac{l_4^2}{2} = 0 \end{cases}$$

$$\Rightarrow \underbrace{\begin{bmatrix} l_1 & 0 & 0 & a_{21} - l_1 \\ a_{32} - l_2 & l_2 & 0 & 0 \\ 0 & a_{43} - l_3 & l_3 & 0 \\ 0 & 0 & a_{14} - l_4 & l_4 \end{bmatrix}}_A \cdot \begin{bmatrix} F_{21} \\ F_{32} \\ F_{43} \\ F_{14} \end{bmatrix} = \frac{1}{2} \begin{bmatrix} p_1 l_1^2 \\ p_2 l_2^2 \\ p_3 l_3^2 \\ p_4 l_4^2 \end{bmatrix}$$

Ma anche  $\sum F_y^{\text{①}} = 0$  pongono:

$$\begin{cases} R_1 = p_1 l_1 - (F_{21} - F_{14}) \\ R_2 = p_2 l_2 - (F_{32} - F_{21}) \\ R_3 = p_3 l_3 - (F_{43} - F_{32}) \\ R_4 = p_4 l_4 - (F_{14} - F_{43}) \end{cases}$$

$$\det A = l_1 l_2 l_3 l_4 - (a_{32} - l_2)(a_{21} - l_1)(a_{43} - l_3)(a_{14} - l_4) \\ = l_1 l_2 l_3 l_4 - (l_2 - a_{32})(l_1 - a_{21})(l_3 - a_{43})(l_4 - a_{14})$$

(si noti l'analogia con l'espressione ottenuta per due aste).

Il caso simmetrico:

$$l_i = l$$

$$p_i = p$$

$$a_{21} = a_{32} = a_{43} = a_{14} = a$$

In base a quanto visto nel caso di due aste, per considerazioni di simmetria, l'equazione di equilibrio di ogni asta è indistinguibile dalle altre.

La soluzione è pertanto:

$$F_{21} = F_{32} = F_{43} = F_{14} = F$$

Inoltre, come visto:  $F \cdot a = \frac{pl^2}{2} \Rightarrow \boxed{F = \frac{1}{2} \frac{pl^2}{a}}$

La reazione agli appoggi a terra è inoltre sempre pari al peso totale di ogni singola asta:

$$R_1 = R_2 = R_3 = R_4 = V = pl.$$

Conferma analitica dal sistema 4x4:

$$\underbrace{\begin{bmatrix} l & 0 & 0 & a-l \\ a-l & l & 0 & 0 \\ 0 & a-l & l & 0 \\ 0 & 0 & a-l & l \end{bmatrix}}_A \cdot \begin{bmatrix} F_{21} \\ F_{32} \\ F_{43} \\ F_{14} \end{bmatrix} = \frac{1}{2} pl^2 \begin{bmatrix} 1 \\ 1 \\ 1 \\ 1 \end{bmatrix}$$

$$\begin{aligned} \det A &= l^4 - (l-a)^4 = \\ &= l^4 - (l^2+a^2-2al)(l^2+a^2-2al) = \\ &= \cancel{l^4} - \cancel{l^4} - l^2a^2 + 2al^3 + a^2l^2 - a^4 + \underbrace{2a^3l} + 2al^3 + \underbrace{2a^3l} - \underbrace{4a^2l^2} \\ &= -a^4 + 4a^3l - 6a^2l^2 + 4al^3 \\ &= a(-a^3 + 4a^2l - 6al^2 + 4l^3) \\ &= a(2l-a)(a^2 - 2al + 2l^2) \end{aligned}$$

$$\begin{aligned} \text{Infatti: } (2l-a)(a^2 - 2al + 2l^2) &= \\ &= \underline{2la^2} - \underline{4al^2} + 4l^3 - a^3 + \underline{2a^2l} - \underline{2al^2} \\ &= -a^3 + 4a^2l - 6al^2 + 4l^3 \quad \underline{\text{ok}} \end{aligned}$$

N.B.: ancora  $\det A = 0 \begin{cases} a=0 \\ a=2l \text{ (impossibile)} \end{cases}$

mentre  $(a^2 - 2al + 2l^2) > 0$  sempre

Si ritrova labilità per  $a=0 \rightarrow$  impossibilità di riportare l'equilibrio

Dalle regole di Cramer:

$$\det A \quad F_{21} = \frac{1}{2} pl^2 \quad \begin{vmatrix} 1 & 0 & 0 & a-l \\ 1 & l & 0 & 0 \\ 1 & a-l & l & 0 \\ 1 & 0 & a-l & l \end{vmatrix} \leftarrow$$

$$\frac{\cancel{(2l-a)}(\cancel{a^2-2al+2l^2})}{\frac{1}{2} \frac{pl^2}{a}} F_{21} = 1 \cdot \begin{vmatrix} l & 0 & 0 \\ a-l & l & 0 \\ 0 & a-l & l \end{vmatrix} - (a-l) \begin{vmatrix} 1 & l & 0 \\ 1 & a-l & l \\ 1 & 0 & a-l \end{vmatrix}$$

$$= l^3 - (a-l) \left[ 1 \cdot (a-l)^2 - l(a-l-l) \right]$$

$$= l^3 - (a-l) \left[ (a-l)^2 + l(2l-a) \right]$$

$$= l^3 - (a-l) \left[ a^2 + l^2 - 2al + 2l^2 - al \right]$$

$$= l^3 - (a-l) (a^2 - 3al + 3l^2)$$

$$= l^3 - (a-l) (a^2 - 2al + 2l^2) - (a-l) (-al + l^2)$$

$$= l^3 + a^2l - al^2 - al^2 + l^3 - (a-l) (a^2 - 2al + 2l^2)$$

$$= 2l^3 + a^2l - 2al^2 - (a-l) (a^2 - 2al + 2l^2)$$

$$= l(a^2 - 2al + 2l^2) - (a-l) (a^2 - 2al + 2l^2)$$

$$= (l-a+l) (a^2 - 2al + 2l^2)$$

$$= \cancel{(2l-a)}(\cancel{a^2-2al+2l^2}) \quad \text{OK} \rightarrow \boxed{F_{21} = \frac{1}{2} \frac{pl^2}{a}} \quad \checkmark$$

Idem per  $F_{14}$ :

$$\det A \quad F_{14} = \frac{1}{2} pl^2$$

$$\begin{vmatrix} l & 0 & 0 & 1 \\ a-l & l & 0 & 1 \\ 0 & a-l & l & 1 \\ 0 & 0 & a-l & 1 \end{vmatrix} =$$

$$\det A \frac{F_{14}}{\frac{1}{2} pl^2} = 1 \cdot \begin{vmatrix} l & 0 & 0 \\ a-l & l & 0 \\ 0 & a-l & l \end{vmatrix} - (a-l) \begin{vmatrix} l & 0 & 1 \\ a-l & l & 1 \\ 0 & a-l & 1 \end{vmatrix}$$

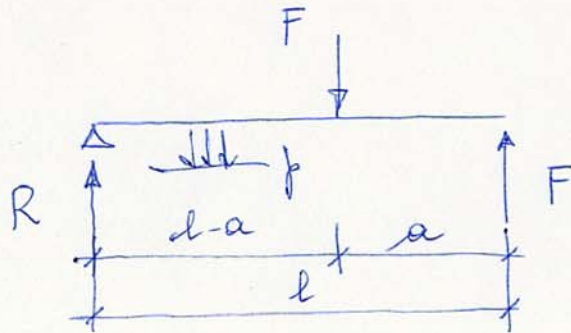
$$= \frac{\det A}{a}$$

↑ permutando le colonne origina lo stesso determinante di prima.

quindi  $\boxed{F_{14} = \frac{1}{2} \frac{pl^2}{a}}$  come atteso

Analogamente per  $F_{32}$  e  $F_{43}$ .

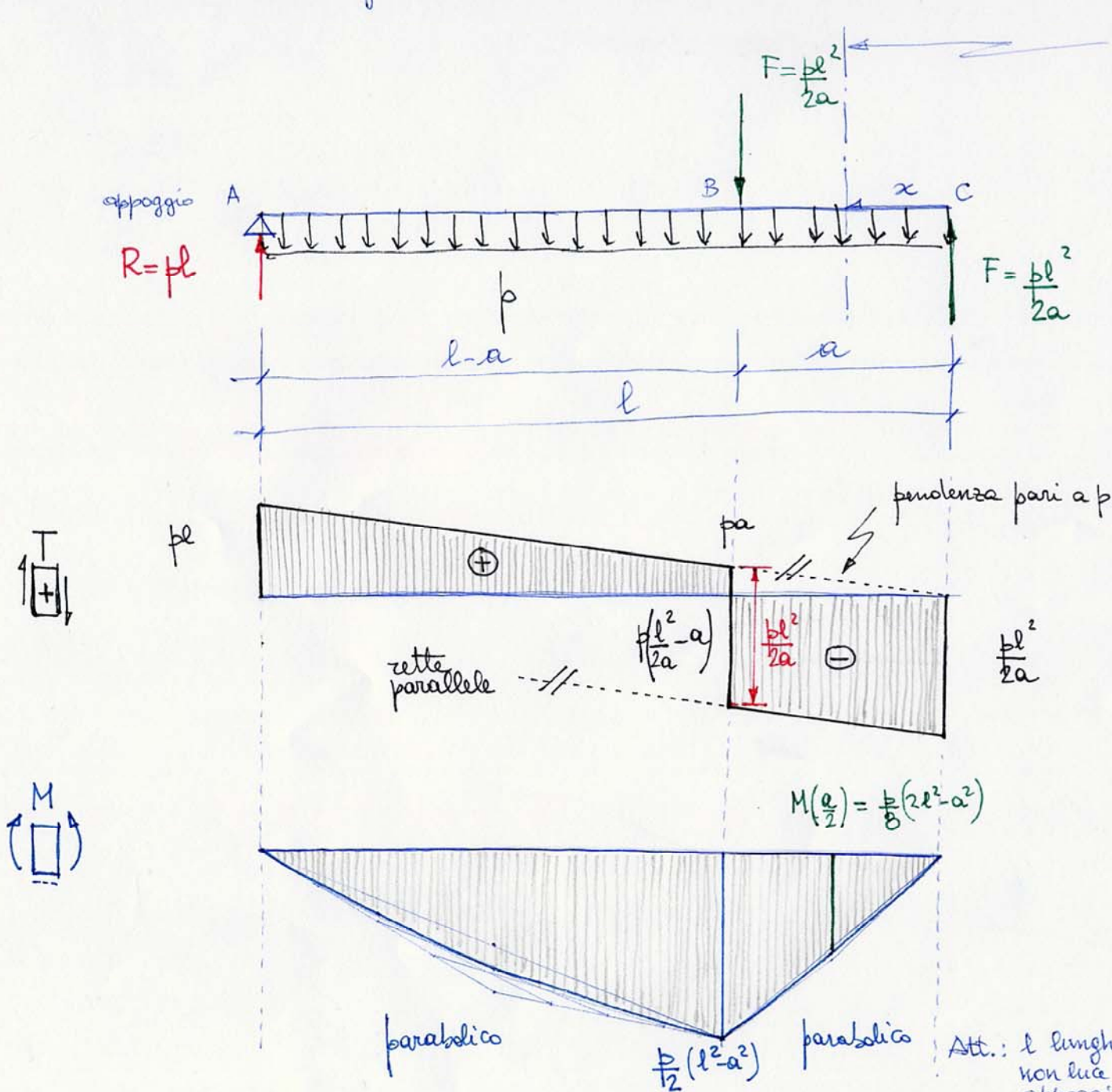
Si evince quindi l'importanza dello schema statico con la coppia  $F \cdot a$ , già posta in luce con lo schema di base avente due sole aste:



$$F \cdot a = \frac{pl^2}{2} \Rightarrow F = \frac{pl^2}{2a}$$

$$R = pl$$

Azioni interne nella singola asta di tale schema base:



asse per il caso di due aste

Esempio:

$\bullet a = \frac{l}{3}$   
 $\frac{pl^2}{2a} = \frac{3}{2} pl = \frac{9}{6} pl$   
 $pa = \frac{1}{3} pl = \frac{2}{6} pl$   
 $p(\frac{l^2}{2a} - a) = \frac{7}{6} pl$

$\frac{p}{2}(l^2 - a^2) = \frac{1}{9} pl^2 = \frac{1}{2.25} pl^2$

$\frac{p}{8}(2l^2 - a^2) = \frac{17}{72} pl^2 = \frac{1}{4.73} pl^2$   
 $= \frac{1}{2} \cdot \frac{1}{2.12} pl^2$

Att.: la lunghezza di un'asta, non l'ha di trave appoggiate!

Commenti:

$$- T_{\max} = T_c = \frac{pl^2}{2a} \quad \text{per} \quad \frac{pl^2}{2a} \geq pl \Rightarrow l \geq 2a \Rightarrow \boxed{a \leq \frac{l}{2}}$$

Per  $a < \frac{l}{2}$  il taglio massimo si produce all'estremo C

"  $a = \frac{l}{2}$  si ottiene lo stesso taglio agli estremi A e C ( $T_A = T_c$ )

"  $a > \frac{l}{2}$  il taglio massimo si produce all'estremo A

$$- \text{In B, } T_B^{\text{sn.}} = pa \leq p\left(\frac{l^2}{2a} - a\right) = T_B^{\text{ds.}} \quad \text{per} \quad 2a \leq \frac{l^2}{2a} \Rightarrow 4a^2 \leq l^2 \Rightarrow \boxed{a \leq \frac{l}{2}}$$

$$\text{Per } a < \frac{l}{2} \quad T_B^{\text{sn.}} < T_B^{\text{ds.}}$$

$$\text{" } a = \frac{l}{2} \quad T_B^{\text{sn.}} = T_B^{\text{ds.}} = \frac{pl}{2}$$

$$\text{" } a > \frac{l}{2} \quad T_B^{\text{sn.}} > T_B^{\text{ds.}}$$

$T_B$ , a ds. o sn., rimane comunque sempre inferiore a  $T_A$  e  $T_c$ .

- Il taglio può annullarsi nel tratto BC per:

$$\frac{l^2}{2a} - a \leq 0 \Rightarrow l^2 \leq 2a^2 \Rightarrow$$

$$\boxed{a \geq \frac{l}{\sqrt{2}} \approx 0,71 l}$$

alla distanza

$$\frac{\frac{pl^2}{2a}}{p} = \frac{l^2}{2a} \quad \text{dall'estremo C} :$$

$$T(x) = -\frac{pl^2}{2a} + px = 0 \quad \text{per } \bar{x} = \frac{l^2}{2a}$$

- In tale caso si ha una max. rel. di  $M$ , con

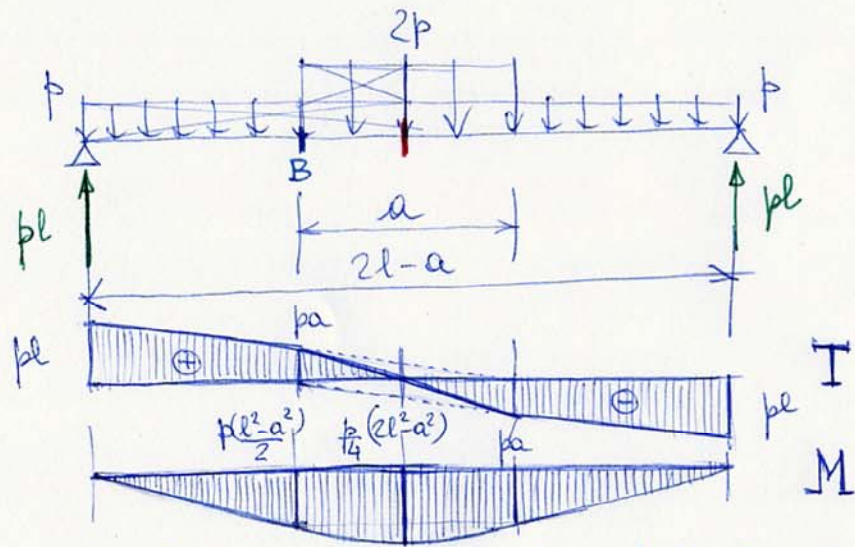
$$M(x) = \frac{pl^2}{2a}x - \frac{px^2}{2}$$

$$M_{\max} = M\left(\bar{x} = \frac{l^2}{2a}\right) = \frac{pl^2}{2a} \frac{l^2}{2a} - \frac{p}{2} \frac{l^4}{4a^2} = \frac{pl^4}{8a^2}$$

- Nel punto medio del tratto BC il momento risulta:

$$M\left(x=\frac{a}{2}\right) = \frac{pl^2}{2a} \frac{a}{2} - \frac{p}{2} \frac{a^2}{4} = \frac{p}{8} (2l^2 - a^2)$$

- Nel caso di sistema a due aste precedentemente considerato, cioè è coerente ed momento massimo che si produce nella seguente trave di luce  $(2l-a)$ :



In mezzeria:

$$\begin{aligned} \bullet \underline{M_{max}^*} &= pl \frac{2l-a}{2} - \frac{p}{2} \left(\frac{2l-a}{2}\right)^2 - \frac{p}{2} \left(\frac{a}{2}\right)^2 \\ &= \frac{p}{8} (2l-a)(4l-2l+a) - \frac{pa^2}{8} \\ &= \frac{p}{8} (2l-a)(2l+a) - \frac{pa^2}{8} \\ &= \frac{p}{8} (4l^2 - a^2 - a^2) \\ &= \frac{p}{4} (2l^2 - a^2) \end{aligned}$$

Infatti, considerando il contributo delle due aste presenti nella sezione in mezzeria tra B e C si ottiene:

$$2 M\left(\frac{a}{2}\right) = \frac{p}{4} (2l^2 - a^2) = M_{max}^* \quad \underline{ok}$$

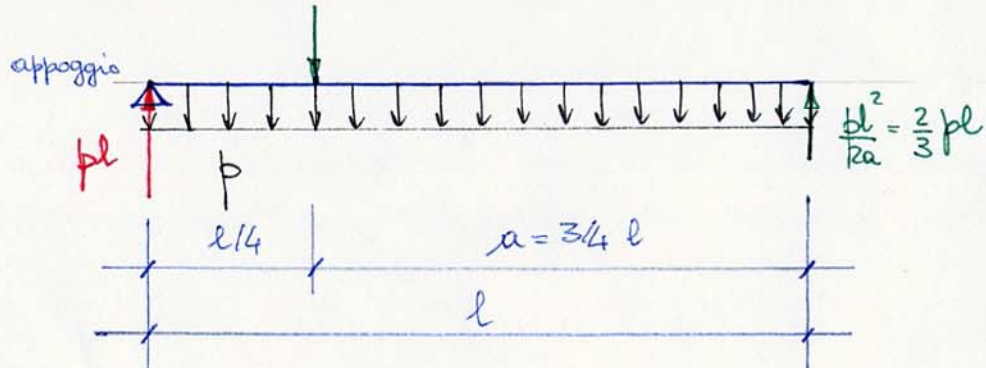
- In B si ottiene coerentemente:

$$M_B = pl(l-a) - p\frac{(l-a)^2}{2} = p\frac{(l-a)}{2} (2l-l+a) = \frac{p(l-a)(l+a)}{2} = \frac{p(l^2-a^2)}{2}$$

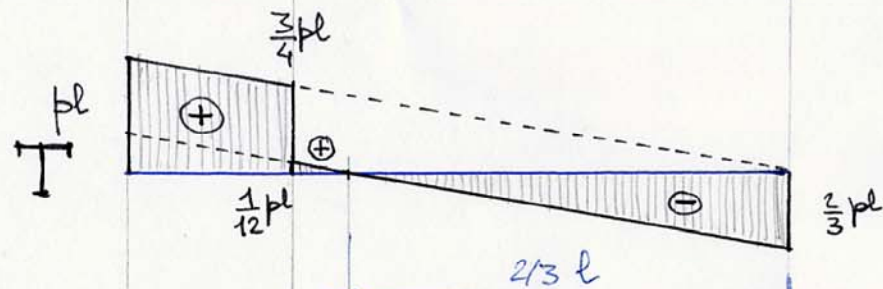
- Due casi rappresentativi:

$$a = \frac{3}{4}l = 0.75l > \frac{1}{\sqrt{2}}l$$

$$\frac{pl^2}{2a} = \frac{2}{3}pl$$



$$\frac{pl^2}{2a} = \frac{2}{3}pl$$



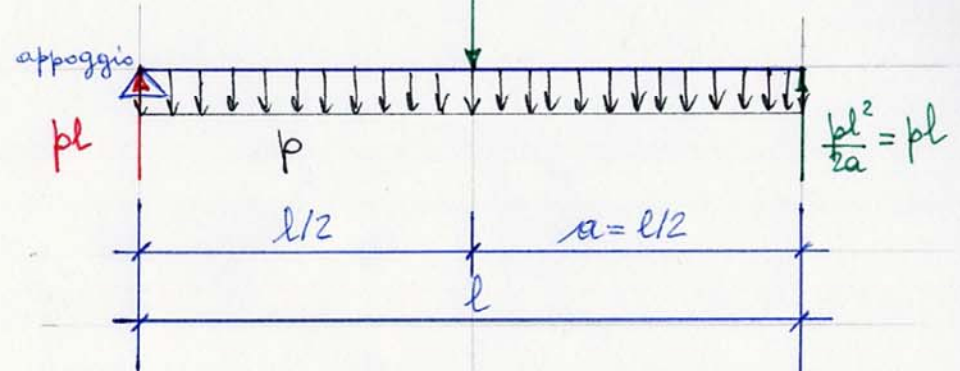
M

$$\frac{23}{128}pl^2 \approx \frac{1}{5.57}pl^2 \approx \frac{1}{2} \frac{1}{2.78}pl^2$$

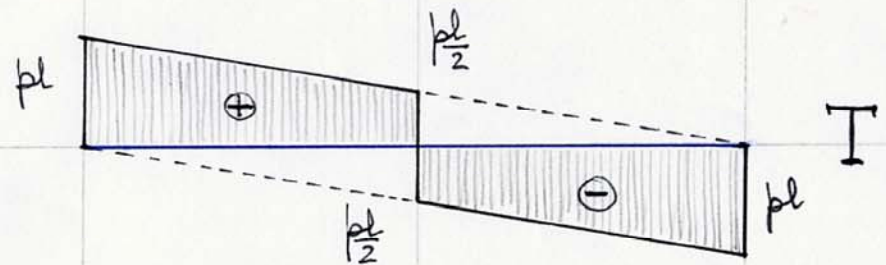
$$\frac{1}{4.57}pl^2 \approx \frac{7}{32}pl^2 \quad M_{max} = \frac{pl^4}{8a^2} = \frac{2}{9}pl^2 \approx \frac{1}{4.5}pl^2$$

$$a = \frac{l}{2} < \frac{1}{\sqrt{2}}l$$

$$\frac{pl^2}{2a} = pl$$



$$\frac{pl^2}{2a} = pl$$



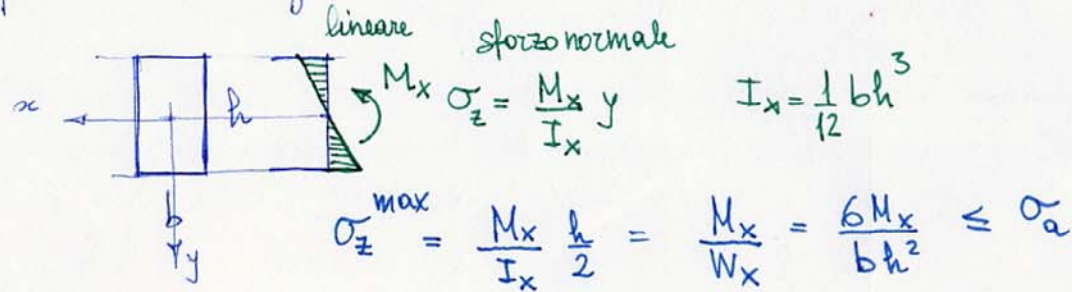
$$\frac{7}{32}pl^2 \approx \frac{1}{4.57}pl^2 \approx \frac{1}{2} \frac{1}{2.29}pl^2$$

$$M_{max} = \frac{3}{8}pl^2 \approx \frac{1}{2.67}pl^2$$

Verifiche di resistenza per l'asta ABC (per  $a \leq \frac{l}{2}$ )

A momento : nella sezione B con  $M_B = \frac{p}{2}(l^2 - a^2)$

per sezione rettangolare

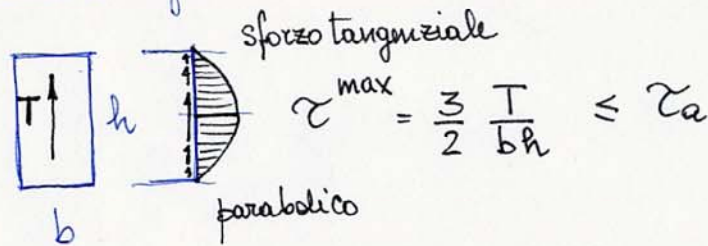


(per materiali con resistenza a trazione uguale a quella a compressione)

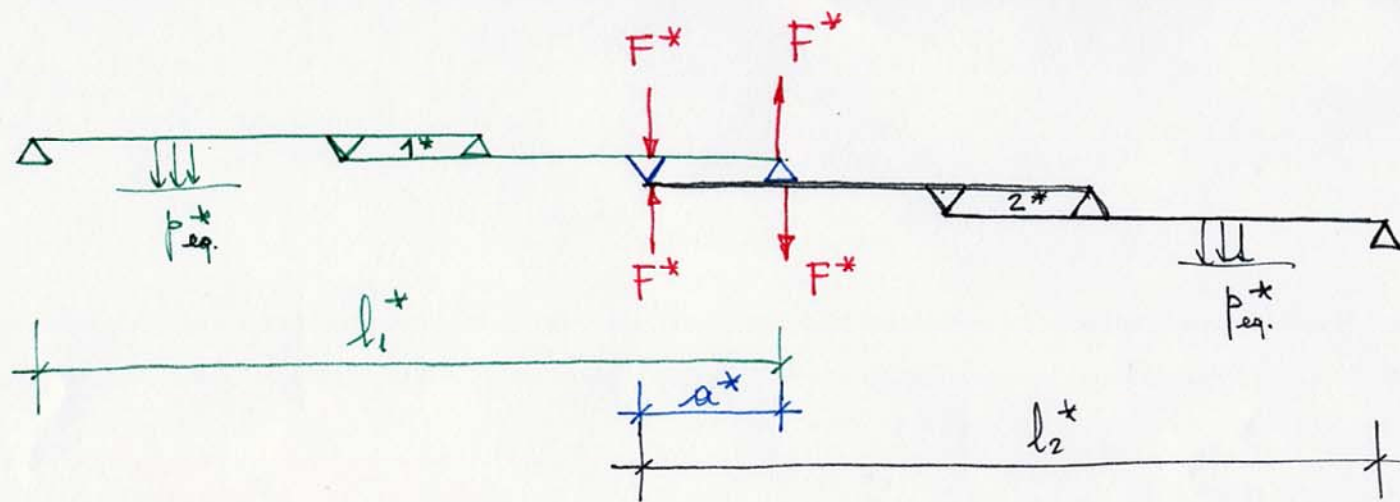
$W_x$ : modulo di resistenza  $W_x = \frac{I_x}{h} = \frac{b h^2}{6}$

A taglio : nella sezione C con  $T_C = \frac{p l^2}{2a}$   
nella sezione B con  $T_B = p \left( \frac{l^2}{2a} - a \right)$

per sezione rettangolare



- Assemblaggio di due (o più) elementi composti con due aste.



Attenzione: Ancora  $F^* a^* = \frac{p^* l_1^{*2}}{2} \Rightarrow F^* = \frac{p^* l_1^{*2}}{2a^*}$   
 che aumenta in ragione di  $l_1^*$

- L'analisi svolta si può quindi ripetere ma le azioni interne presenti si incrementano in relazione all'aumento della luce coperta.
- Ovviamente non risulterà quindi possibile assemblare all'infinito elementi per coprire una luce qualsiasi - Un elemento modulare con certe proprietà date consentirà di coprire solo una determinata luce, mediante la sovrapposizione di un numero massimo caratteristico di moduli.